

論文

焼結鉱の初期融液生成と最終スラグ形成過程
の検討

志垣 一郎*・沢田 峰男*・土屋 健²
吉岡 邦宏³・高橋 佐³

Study of Primary Melt Formation and Transition Mechanism
to Final Slag of Sintered Ore

Ichiro SHIGAKI, Mineo SAWADA, Osamu TSUCHIYA,
Kunihiro YOSHIOKA and Tasuku TAKAHASHI

Synopsis:

Liquidus temperatures, obtained by quenching technique, were measured for mixtures in the system $\text{CaO}-\text{SiO}_2-\text{Al}_2\text{O}_3-\text{Fe}_3\text{O}_4$ in 10^{-7} atm atmosphered P_{O_2} . Analysis of final silicate slag of sintered ore by use of EPMA revealed that chemical compositions lay in the field near the pseudowollastonite-dicalcium eutectic line between 1250°C and 1300°C in the phase diagram.

An interrupted sintering pot test and sintering simulation experiments of the mixture of raw materials showed that there were two kinds of primary melts, which were liquid silicate and liquid calcium ferrite. Liquid calcium ferrite generated two kinds of structures; one consisted of quarternary calcium ferrite and silicate slag, and the other was mainly composed of dicalcium silicate and dicalcium ferrite or magnetite.

With increasing temperature, primary silicate melt of low basicity dissolves dicalcium silicate and becomes final slag of higher basicity.

1. 緒 言

焼結技術は省エネルギーを目的とした高層厚化と同時に、鉱物組織を制御することによる品質改善の方向に進みつつある。このためには、使用原料の物理・化学的特性を生かした焼結反応の理解が必要である。その課題のひとつが初期融液の生成から最終スラグ形成過程の解明である。

しかし、焼結プロセスは温度、雰囲気ガス組成が急速に変化し、粒度の異なる各種鉱石が偏在するため機上実験でプロセスを再現することが難しく焼結反応の解明の障害となつていて。

最近、大気雰囲気下での $\text{CaO}-\text{SiO}_2-\text{Al}_2\text{O}_3-\text{Fe}_2\text{O}_3$ 4 元系平衡結晶化過程¹⁾ が調査され、また窒素ガスによる焼結中断鍋試験²⁾ が実施され焼結反応の基礎的理識が深まりつつある。

本研究では、実際の焼結過程での内装コークスの燃焼を考慮して、低酸素分圧下での $\text{CaO}-\text{SiO}_2-\text{Al}_2\text{O}_3-\text{Fe}_3\text{O}_4$ 4 元系の平衡相関係を中心に調べ、それに基づいて焼結鉱の初期融液の生成と最終スラグ形成にいたる過程につ

いて検討した。

2. 実験方法

2.1 3元系および4元系平衡相関係の検討

焼結中断鍋試験により擬似粒子の付着粉部のヘマタイト(Fe_2O_3)は3.2に述べるようにマグネタイト(Fe_3O_4)に還元されていることがわかつた。したがつて初期融液の生成を理解するためには低酸素分圧下での $\text{CaO}-\text{SiO}_2-\text{Al}_2\text{O}_3-\text{Fe}_3\text{O}_4$ 4 元系状態図が必要となる。

鍋試験の結果では Photo. 1(A) に示しているように、シリケートが生成はじめている場所では約 1200°C すでに Fe_2O_3 が Fe_3O_4 に還元されていた。したがつて本報では、焼結過程は種々の酸素分圧を取ると考えられるが、少なくともシリケート融液が生成する部分に対し 1200°C で Fe_3O_4 が安定な P_{O_2} である 10^{-7} atm を選び、 $\text{Al}_2\text{O}_3=5\text{ wt\%}$ 下の $\text{CaO}-\text{SiO}_2-\text{Al}_2\text{O}_3-\text{Fe}_3\text{O}_4$ 4 元系の 1200°C , 1250°C , 1300°C における相関係を求めた。 $\text{CaO}-\text{SiO}_2-\text{Fe}_3\text{O}_4$ 3 元系については 1300°C における相関係を求め、4元系の結果と比較した。

昭和 58 年 4 月本会講演大会にて発表 昭和 59 年 1 月 23 日受付 (Received Jan. 23, 1984)

* (株)神戸製鋼所中央研究所 (Central Research Laboratory, Kobe Steel, Ltd., 1-3-18 Wakino-hama-cho Chuo-ku Kobe 651)

² (株)神戸製鋼所中央研究所 工博 (Central Research Laboratory, Kobe Steel, Ltd.)

³ (株)神戸製鋼所神戸製鉄所 (Kobe Works, Kobe Steel, Ltd.)

Table 1. Chemical composition and size distribution of raw materials.

Description	Ratio (%)	Chemical composition (%)						Size distribution (%)						
		T·Fe	FeO	SiO ₂	CaO	Al ₂ O ₃	TiO ₂	C.W.	+5	5~2	2~1	1~0.5	0.5~0.25	-0.25
Ore A	16.2	67.4	0.1	2.6	0.1	0.7	0.1	0.2	4.4	3.4	4.8	4.3	10.3	72.8
Ore B	14.6	61.5	0.3	6.6	0.1	2.6	0.1	2.7	6.7	19.5	19.0	13.0	12.6	29.2
Ore C	11.0	57.3	0.1	5.8	0.1	2.4	0.2	9.4	19.6	22.7	29.7	12.2	7.5	8.3
Ore D	8.5	61.2	0.1	8.5	0.1	2.0	0.1	1.7	17.9	16.7	28.2	15.7	9.8	11.7
Ore E	6.8	62.1	0.2	4.8	0.1	2.9	0.1	3.4	14.3	31.7	15.1	9.5	8.5	20.9
Ore F	4.2	64.6	0.1	5.0	0.1	1.2	0.1	1.2	13.8	14.9	13.3	7.7	8.7	41.6
Ore G	6.7	60.6	12.9	3.7	1.0	3.3	3.9	2.3	6.6	15.4	12.2	6.3	3.8	55.7
Dust mix	8.2	52.7	19.3	10.2	5.1	1.4	0.2	—	4.0	3.7	7.2	9.2	6.2	69.7
Sinter returns	8.1	56.0	8.6	6.0	9.9	1.9	0.6	—	—	31.6	26.8	18.4	13.9	9.3
Limestone	11.9	—	—	0.3	54.0	—	—	—	—	17.0	38.5	16.4	12.1	16.0
Coke breeze	3.8	4.9	—	6.4	0.3	3.3	0.9	—	—	11.0	12.1	18.6	23.1	35.2

Ore A, B, C, D, E: Australian Ores.

出発物質には、特級試薬の CaCO_3 , Al_2O_3 , Fe_2O_3 , SiO_2 を使用した[†]。配合原料 1 g を上端開放の白金袋に入れ、目標とする温度より 100°C 高い温度で 1 h 保持し、 $50^\circ\text{C}/\text{h}$ で目標温度まで降温した。その温度で 3 h 保持後、水中急冷した。

酸素分圧は CO , CO_2 混合ガスで調整した。流量はテーパー管式流量計と石けん膜流量計で別々に測定し、合計約 $3 \text{ Nl}/\text{min}$ にした。そこでは次の平衡が成立すると仮定される。



この反応の平衡定数は次の標準自由エネルギーの式より求めた。

$$\Delta G = -67\,500 + 20.75T^4$$

ここで ΔG : 標準自由エネルギー (cal/mol)

T : 絶対温度 (K)

なお、実験の昇・降温過程におけるガス組成は目標温度で $P_{\text{O}_2} = 10^{-7} \text{ atm}$ となる CO/CO_2 比に保つた。得られた試料の一部を粉末X線回折に供し、固相の同定をした。この固相と平衡する融液組成を EPMA で定量することにより等温線を求めた。分析データの鉄分は Fe_3O_4 に換算した。4元系については、融液組成の Al_2O_3 が $5 \pm 0.5 \text{ wt\%}$ のデータを用いた。

2.2 焼結中断鍋試験

焼結過程での融液の生成過程を調べるために焼結中断鍋試験を行つた。原料の化学成分と粒度分布を Table 1 に示したが、豪州系鉱石を 57% と多配合した。試験鍋は既報³⁾のものを用い、焼結は層高 400 mm、配合原料水分 6%，コクス配合率 3.8%，負圧 $1\,600 \text{ mmH}_2\text{O}$ 一定で行つた。

中断の方法を以下に示す。グレート面から 290 mm の位置が最高温度に到達した直後、プロアを停止しグレート下から上向きに窒素 $2 \text{ Nm}^3/\text{min}$ を流してベッドを冷却した。ベッドより採取した試料を化学分析、顕微鏡

観察、EPMA によるミクロ分析に供した。

2.3 シリケート系融液中の石灰の活性化

焼結過程の初期に活性化せずに残った石灰の挙動を以下の実験で検討した。化学試薬を混合し、その組成を $\text{CaO} 25$, $\text{SiO}_2 47.5$, $\text{Fe}_2\text{O}_3 22.5$, $\text{Al}_2\text{O}_3 5 \text{ wt\%}$ とした。この粉末をダイス成型した試薬 CaO の周囲に詰め全体を白金箔で包み $13^\circ\text{C}/\text{s}$ で 1250°C まで加熱し、2 min 保持後水中急冷した。この時の雰囲気は大気と $P_{\text{O}_2} = 10^{-7} \text{ atm}$ の 2 種である。得られた試料は顕微鏡観察と EPMA 分析に供した。

2.4 焼結過程模擬実験

実機の擬似粒子原料 6 g を 22 mm^3 のダイスにより 250 kg/cm^2 で加圧成型した。これは加熱中、石灰石の分解ガスによる試料の崩壊を防ぐためである。この試料を空気と十分接触できるように白金板上にのせ、実機ヒートパターンを近似した $13^\circ\text{C}/\text{s}$ の昇温速度になるよう、所定の温度に加熱した電気炉中に降ろし、 1100°C , 1200°C , 1300°C の各温度で 2 min 保持後水中急冷した。この試料について顕微鏡観察および EPMA 分析に供した。

3. 実験結果

3.1 3元系および4元系の平衡相関係

焼結反応を基礎的に理解するには、現在まだ整備されていない低酸素分圧下での $\text{CaO}-\text{Fe}_3\text{O}_4-\text{SiO}_2$ 3元系とこれに Al_2O_3 が加わった4元系の状態図が必要である。その平衡相関係についての測定結果はつぎのとおりである。

$\text{CaO}-\text{Fe}_3\text{O}_4-\text{SiO}_2$ 3元系の $P_{\text{O}_2} = 10^{-7} \text{ atm}$ における 1300°C の融液領域と、それと共に存する固相の関係を Fig. 1 に示す。B. PHILLIPS らの報告⁵⁾における大気雰囲気下での $\text{CaO}-\text{Fe}_2\text{O}_3-\text{SiO}_2$ 系では、 1300°C の融液領域はシリケート系とカルシウムフェライト系に分かれているが、この系ではシリケート系のみであった。Fig. 1 に示しているように、 Fe_3O_4 と共に存する融液中の鉄

[†] 出発物質の組成は $\text{CaO}: 0\sim45 \text{ wt\%}$ で $\text{SiO}_2: 0\sim60 \text{ wt\%}$ の領域のものとした。

分の溶解度は、B. PHILLIPS らのそれと比べると高塩基度側で減少するのに対し低塩基度側で著しく増大している。また A. MUAN⁶⁾によると $P_{O_2} = 10^{-7}$ atm で Fe_3O_4 - SiO_2 線上で SiO_2 が 21~36 wt% の部分が 1300°C で

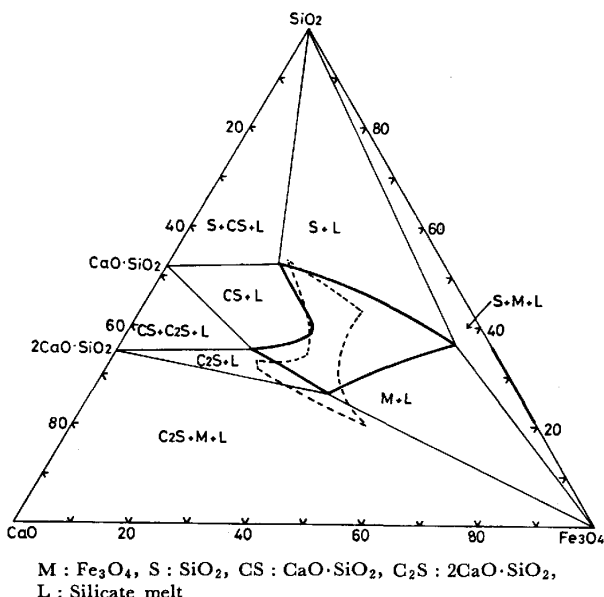


Fig. 1. System $CaO-Fe_3O_4-SiO_2$ at $P_{O_2}=10^{-7}$ atm, showing the liquidus surface and the coexisting crystalline phases at 1300°C. Light solid lines are tie lines between crystalline phases and melt, heavy lines are liquidus isotherms. The liquidus isotherm on the $SiO_2-Fe_3O_4$ line is drawn from data of A. MUAN. Dot lines indicate the liquidus surface of silicate in air at 1300°C after B. PHILLIPS and A. MUAN.

融液である。したがって、この部分と 3 元系融液との間は高融点化学組成領域と考えられる。

融液と共存する固相の相関係は $M+L$, $M+S+L$, $S+L$, $S+CS+L$, $CS+L$, $CS+C_2S+L$, C_2S+L , C_2S+M+L の 8 種類である。なお大気下では存在しているランキナイト⁵⁾ ($3CaO \cdot 2SiO_2$) が、この実験では認められなかつた。

一方、大気雰囲気下での $CaO-SiO_2-Al_2O_3-Fe_2O_3$ 4 元系平衡状態図は、その一部が研究されている¹⁾⁷⁾。ここでは融液の生成初期や局所的に低酸素分圧下で冷却した場合に對応する低酸素分圧下での系を検討し、3 元系の結果と比較して Al_2O_3 の影響をのべる。

Fig. 2 に $Al_2O_3=5$ wt% の $P_{O_2}=10^{-7}$ atm における 4 元系の平衡相関係の一部を示す。カルシウムフェライドは、1300°C における 4 元系融液と共存せず、Fig. 1 の 3 元系の場合と同じ固相が共存した。また 1250°C での 4 元系融液との共存相は 1300°C の場合とかわらない。しかし 1200°C での相関係は $M+L$, $M+S+L$, $S+L$, $S+CS+L$, $CS+L$, $CS+M+L$ の 6 種類となる。したがつて 1200°C と 1250°C の間で $CS+C_2S+M+L$ の 3 重点が存在することになる。また低融点領域は CaO/SiO_2 が約 0.5 である。

Fig. 3 は 4 元系平衡状態図の 5 wt% Al_2O_3 面上の 1300°C における融液領域を、 Al_2O_3 頂点から $CaO-Fe_3O_4-SiO_2$ 面に投影したものである。3 元系に Al_2O_3 が加わることで融液領域は $CaO-SiO_2$ 側に移動してお

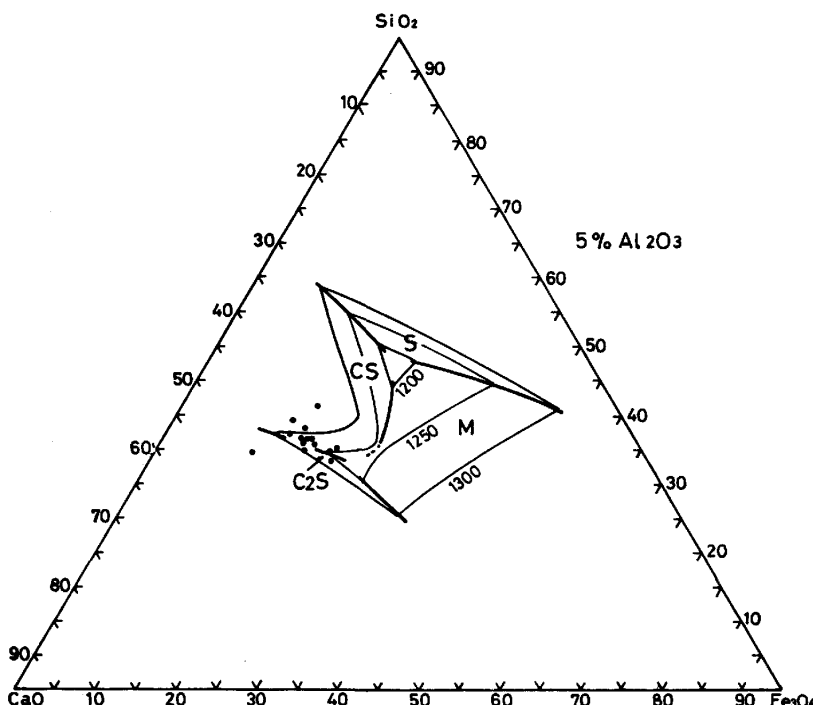


Fig. 2. Liquidus diagram at 5% Al_2O_3 in the system $CaO-Fe_3O_4-Al_2O_3-SiO_2$ at $P_{O_2}=10^{-7}$ atm. Light lines are isotherms of the liquidus surface, heavy lines are boundary curves. Plots indicate chemical compositions of final silicate slag coexisted with magnetite of sinter of pot test.

り、平衡融液中の鉄分は減少することとなる。

3.2 焼結中断鍋試験

焼結プロセスにおける融液の生成過程を検討するため、相馬ら²⁾は焼結中断鍋試験を実施している^{†2}。本研究においては比較的初期の融液生成状況を調査するため

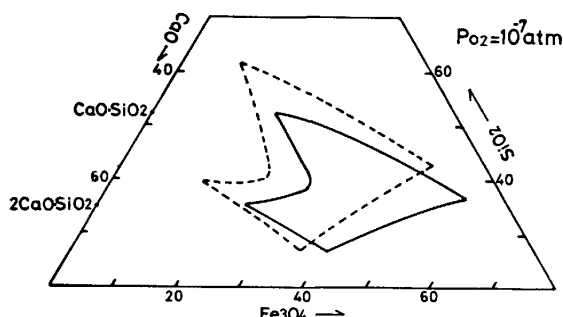


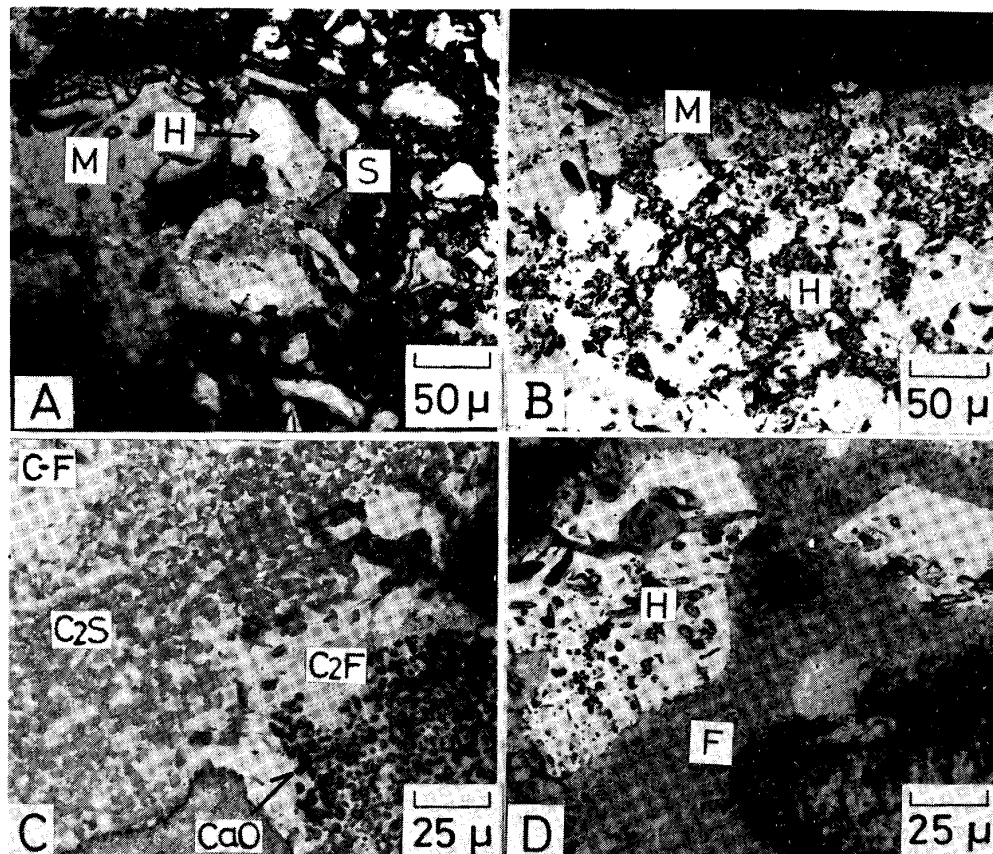
Fig. 3. Effect of Al_2O_3 on the liquidus surface of 1300°C. Light solid lines are liquidus isotherms for the ternary system and dot lines for the quaternary system projected from Al_2O_3 apex on the base.

中断試験を行った。その結果は以下のとおりである。

試験を中断した鍋のベッド中に還元帯、溶融帯の形成が観察された。これら両ゾーンの境界近傍で温度は1270°C、 FeO 分析値は約11%であった。

Photo. 1に還元帯と溶融帯の境界部の顕微鏡組織を示す。Photo. 1-A) は擬似粒子の付着粉部を示しており、シリケート系融液の生成が認められる。また Fe_2O_3 微粒子は、中心部以外では Fe_3O_4 に還元されている。Photo. 1-B) は Fe_2O_3 核粒子の外周部が Fe_3O_4 に還元されていることを示している。ところで、Table 1の原料配合で擬似粒子の付着粉となりやすい0.25 mm以下の Fe_2O_3 量は17%である。そして Photo. 1 に示す領域での FeO 分析値が約11%であることから、 Fe_3O_4 量は30%程度と考えられる。したがつて、付着部だけでなく中間粒子と核粒子の Fe_2O_3 も一部還元されていることになる。

Photo. 1-C) は石灰石の周囲に生成した組織を示す。石灰石であつた部分は酸化鉄を40 wt%弱含んだ数 μm



(A) Silicate and partially reduced magnetite of adhering particles. (B) Outer reduced magnetite and inner hematite of nucleus ore. (C) Texture around a large sized line one. (D) Calcium ferrite around nucleus hematite.
H) Hematite, M) Magnetite, C₂S) Dicalcium silicate, C₂F) Dicalcium ferrite, C-F) Binary melt of CaO-Fe₂O₃,
S) Silicate slag, F) Acicular quaternary calcium ferrite

Photo. 1. Microstructure at the lower part of the fusion zone.

^{†2} が分析の対象となつたシリケートはかなり同化が進んだものと考えられる。

以下の島状の CaO とその間隙を埋める Al_2O_3 固溶のダイカルシウムフェライト (C_2F) よりなる。この組織の外周部には多量のダイカルシウムシリケート (C_2S) と CaO を 20 wt% 含有した CaO- Fe_2O_3 系融液が生成している。このほかにも塩基度が約 2 のシリケート融液が少量みとめられた。本実験において、上述のような組織は溶融帶下部で高い頻度で観察されたものであり、この組織は石灰石の淬化機構を解明するうえで注目すべきものと考える。

Photo. 1-D) に 4 元系カルシウムフェライトを示す。その形態は針状であり、長柱状のものはなかつた。カルシウムフェライトは Fe_2O_3 核粒子の周囲に発達している場合が多かつた。

このように主な初期融液としては、鉄鉱石擬似粒子の付着粉部に発生するシリケート系融液、4 元系カルシウムフェライト系融液のほかに石灰石周囲に C_2S と C_2F をともなつて生成する 2 元系カルシウムフェライト系融液の 3 種類が存在した。

つぎに、初期シリケート系融液成分の EPMA による分析結果を Fig. 4 に示す。塩基度が 0.8~1.2 の融液が大半を占め、それらはいずれも 4 wt% 以上の Al_2O_3 を含有していた。また高塩基度融液や低塩基度高 Al_2O_3 融液も存在した。前者は C_2S をとかしこんだもので、後者はカオリナイト ($\text{Al}_2(\text{Si}_2\text{O}_5)(\text{OH})_4$) やセリサイト ($\text{K}_2\text{O} \cdot 3\text{Al}_2\text{O}_3 \cdot 6\text{SiO}_2 \cdot 2\text{H}_2\text{O}$) の周囲で発生したものと考える。また 4 元系カルシウムフェライトも Al_2O_3 を 5 wt% 含んでいた。このように初期融液中には Al_2O_3 分がかなりとけこんでおり、焼結反応の初期からその影響を考慮する必要があることが判明した。

4. 最終スラグ形成過程の考察

4.1 従来の研究

焼結鉱の融液生成過程は早くから検討され、低融点組成は状態図上 2 種類あり、ライムオリビン系のシリケート (α) とカルシウムフェライトの初晶を特徴とする領

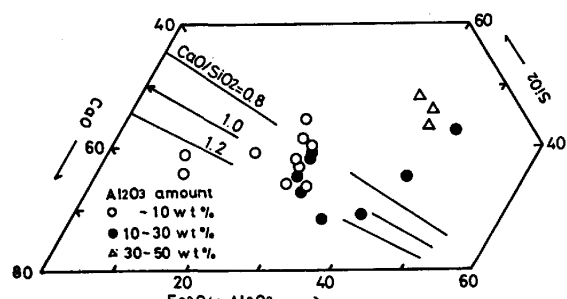


Fig. 4. Chemical compositions of silicate melts at the lower part of the fusion zone.

域 (β) であることが小島ら⁸⁾ によつて指摘されている。そしてその中で、 α と β とは理論的には 1315°C 以上でなければ反応せず、この温度以下で両者が物理的に衝突するとその境界面は固結し障壁を形成することになるとの考えが示されている。しかしながら、最高到達温度が 1315°C 以下の最近の低 FeO 焼結鉱においても α と β の間に C_2S もしくは Fe_2O_3 の障壁はみられず、反対にシリケート系融液がどの鉱物相の間にもよく浸透していることがみとめられる。

これに対し、松野ら⁹⁾ は初期融液としてはカルシウムフェライト系が生成し、これに珪石が溶解することでシリケート系融液が生成し、この融液とカルシウムフェライト融液との界面で、 Fe_2O_3 を晶出させながら同化が進むと説明している。しかし、この説も理論的には 1315°C 以上の高温にならないと低塩基度のシリケート融液の生成は望めないことになる。ところが、最近わが国で使用されている焼結原料の鉄鉱石中には Al_2O_3 分が高くなりつつある。そして $\text{CaO}-\text{Fe}_2\text{O}_3-\text{SiO}_2-2\%\text{Al}_2\text{O}_3$ 系⁷⁾ では、1300°C で α と β が一連の融液領域になることが判明しており、1300°C 以下であつても松野らが提案した機構で融液が生成することも考えられる。しかし、佐々木ら¹¹⁾ は最終スラグ組成が $\text{CaO}-\text{SiO}_2-\text{Fe}_2\text{O}_3$ 3 元系の 15~25% Fe_2O_3 領域にあり、 Fe_2O_3 晶出域から遠く離れているため、松野らの考えではこのスラグ形成過程を説明できないと述べている。

一方、焼結鉱の最終組織の形成過程も佐々木ら¹⁰⁾ により微視的に検討されている。それによると晶出鉱物のすべてが均一化の進んだ $\text{CaO}-\text{Fe}_2\text{O}_3-\text{Al}_2\text{O}_3-\text{SiO}_2$ 系のスラグ融液から晶出したものであり、非晶質けい酸塩は初晶鉱物を析出したあとの残液が急冷・固化したものである。さらに、1 次の初晶としては C_2S 、メリライト、酸化鉄、カルシウムフェライトがあると考えられている。しかし、配合原料の平均組成とかけ離れた 1 次の初晶が C_2S となる融液が、どのように形成されるかは明らかでない。また、酸化鉄が 1 次の初晶としてでの融液組成は $\text{CaO}-\text{SiO}_2-\text{Fe}_2\text{O}_3$ 3 元系では Fe_2O_3 とカルシウムシリケートの共晶線に関して、最終スラグ組成と反対に位置するはずである。したがつて、この融液から最終スラグの形成を説明することは平衡論では困難となる。

4.2 4 元系平衡相関係による検討

上記の説を Al_2O_3 を含有した系で正確に調べるために、焼結鉱を試験鍋で製造し、その焼結鉱の最終スラグ組成を求めた。その時のヨークス配合率は 2.5~5.5%，塩基度は 1.6 で通常の自溶性焼結鉱である。Fig. 2 の

プロットは、 Fe_3O_4 と共に存するスラグ組成を EPMA で定量し、 Al_2O_3 濃度が 4~6 wt% であつた分析値を示している。これらの組成の融点は 1250~1300°C であり、この温度領域でスラグが凝固したことを示している。 Fe_2O_3 と共に存するスラグ組成もほぼ同じところに位置した。これら最終スラグ組成もやはり Fe_3O_4 とカルシウムシリケートの共晶線に関し、 Fe_3O_4 晶出域と反対に位置している。

Fig. 2 の状態図は $P_{\text{O}_2} = 10^{-7}$ atm におけるものであり、酸素分圧が変化することで酸化鉄とカルシウムシリケートの共晶線が最終スラグ組成に近づくことも考えられる。そこで $P_{\text{O}_2} = 10^{-7}$ ~ 0.21 atm の平衡相関係を求めた。実験は 2.1 と同じ方法にもとづいて行い、Fig. 2 の最終スラグ組成が塩基度 1.1を中心としていることから、 CaO/SiO_2 比を 1.1 に決め、 Al_2O_3 5 wt% の $\text{CaO}-\text{SiO}_2-\text{Al}_2\text{O}_3-\text{Fe}_3\text{O}_4$ 系シリケートの 1250°C における液相線の化学組成を求めた。

Fig. 5 は酸素分圧を 10^{-7} atm から 0.21 atm まで変化した時の Fe_3O_4 (または Fe_2O_3) またはショードボラストナイト ($\alpha\text{-CaO}\cdot\text{SiO}_2$) と共に存する融液中の Fe_3O_4 量を示したものである。この酸素分圧の範囲で焼結鉱の最終スラグ組成が決定されていると考える。 Fe_3O_4 (または Fe_2O_3) とショードボラストナイトの共晶線は、両固相とそれぞれ共存する二つの液相線の間に位置するはずである。Fig. 5 が示しているように、この組成は Fe_3O_4 が 22~32% の間にあり、最終スラグ中の Fe_3O_4 が 12~22% であることから、共晶線の化学組成は Fig. 2 の最終スラグ組成よりも鉄分を多く含有している。したがつてスラグを、初晶が酸化鉄であるような均一化の進んだ融液の鉱物析出後の残液が固化したものと仮定すると、最終組成に至る過程を理論的に説明できなくなる。

4.3 石灰のシリケート系融液への溶解挙動の検討

つぎに、佐々木ら¹²⁾が推定しているように低 CaO 融

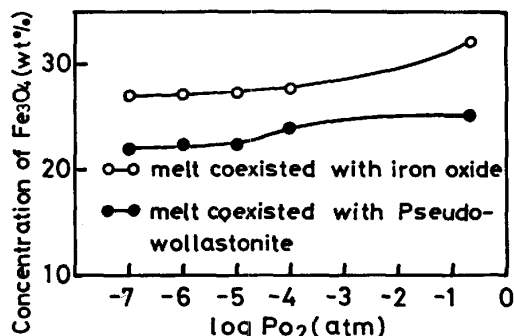


Fig. 5. Equilibrium concentration of Fe_3O_4 in the melt at 1250°C under various oxygen pressure.

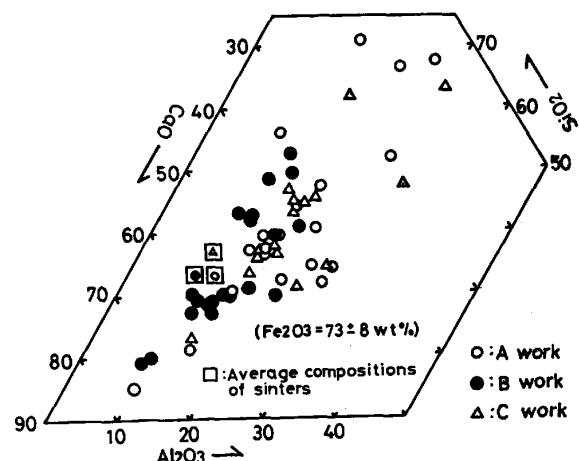


Fig. 6. Chemical compositions of adhering particles projected on the ternary plane.

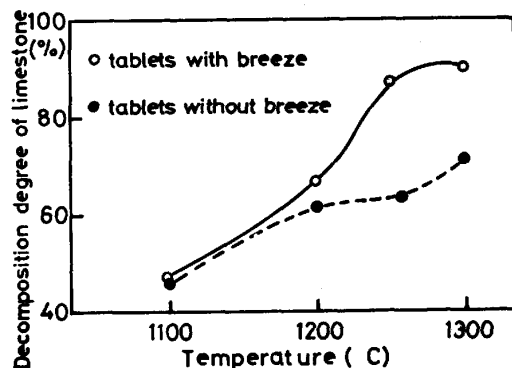


Fig. 7. Decomposition of limestone in the tablets during sintering.

液に遊離石灰が溶解することで高 CaO 融液が生成することが考えられる。この過程で石灰のシリケート系融液への溶解性を検討した。

まず実機原料の擬似粒子付着粉の $500 \mu\text{m} \times 500 \mu\text{m}$ の平均組成を EPMA により定量した。3元系に投影した結果を Fig. 6 に示す。付着部は平均組成よりも鉄分が少ないが、 Al_2O_3 分は平均で 4.3 wt% と高く融液生成に Al_2O_3 分の影響が大きいことが考えられる。また、 CaO/SiO_2 は広範囲に分布しているが、成品のそれよりも小さいものが多い。これは 0.5 mm 以上の付着しない石灰石が約 7 割を占めるためである。

つぎに B 工場の擬似粒子とそれからコークスを除いた擬似粒子を 2.4 の方法で加熱し、炉外に引き出した。そして試料の化学分析値から分解率を求め、Fig. 7 に示した。配合石灰石の粒度は Table 1 と同じである。煅焼帯以上の温度でも粒度により分解しない石灰石もあり、1100°C で約 50% が未分解で残る。また 1250°C になるとコークスブリーズの効果が顕著になつている。

高温域で分解した石灰のシリケート系融液中への溶解

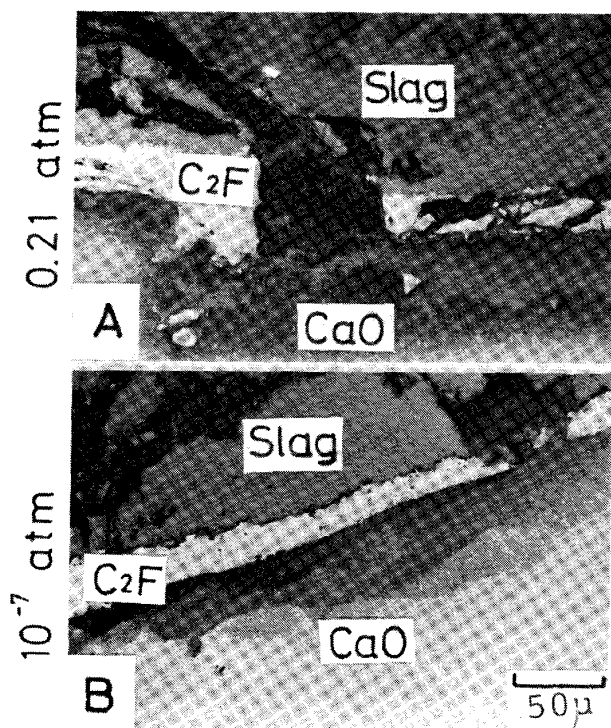


Photo. 2. Lime dissolution into low basicity silicate melt at 1250°C.

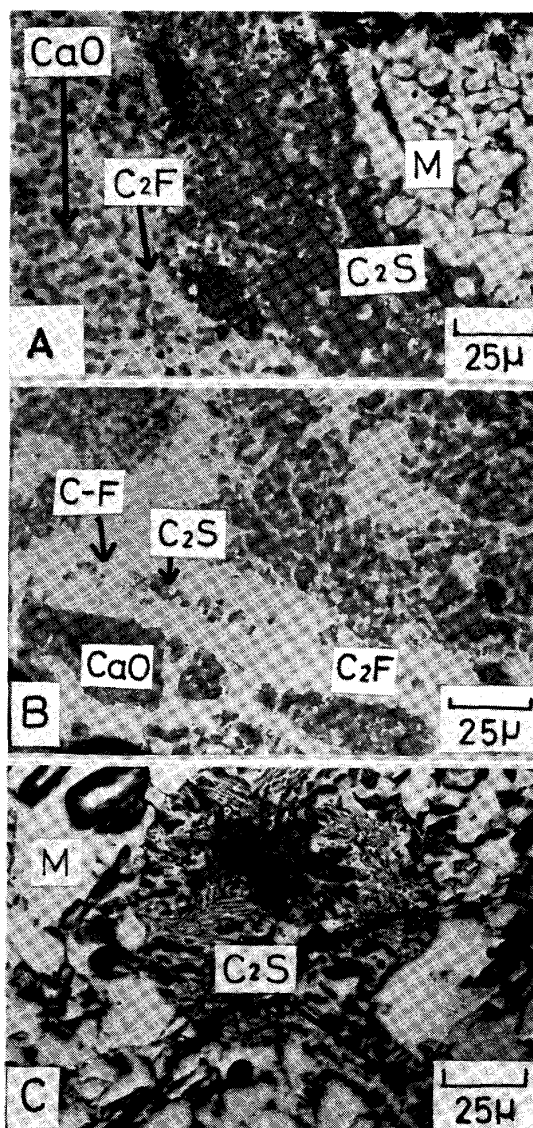
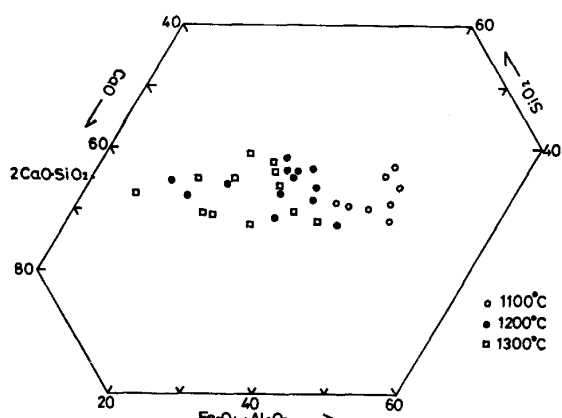


Photo. 3. Microstructure by lime dissolution at 1200°C.

Fig. 8. Change of silicate melt compositions during sintering.

性を2・3の方法で検討した。急冷試料の顕微鏡組織をPhoto. 2に示す。A), B)とも石灰の周囲にはスラグ中を拡散してきたと推定される Fe^{3+} と CaO より生成した C_2F の殻がみられる。またスラグ中の CaO 濃度は飽和に達しておらず、殻の生成とともに石灰の溶解は止まっている。したがつて低 CaO 融液に遊離石灰が溶解するという反応はおこりにくいと考える。

以上の4・2および4・3で述べたごとく、最終スラグの形成は従来の説では説明しきれないと考える。したがつて、以下の節では新たに焼結模擬実験を行い、焼結途中段階における鉱物組成の変化を観察し、初期融液の生



成から最終スラグ形成にいたるまでの機構を考察する。

4.4 昇温過程におけるシリケート系融液の組成変化

電気炉により2・4に示す焼結過程の模擬実験を実施し、焼結の途中段階を観察した。各温度から急冷した試料のシリケート組成のEPMAによる分析結果をFig. 8に示す。Fig. 8に示すように1100°Cで低塩基度スラグが生成しているが、顕微鏡観察によればごく微量であつた。1200°C, 1300°Cと高温になるにしたがい、スラグ組成は C_2S にむかって高塩基度側に移動し、最終スラグ組成に近づいている。

この機構を微視的組織より考察する。Photo. 3-A)は1200°Cから急冷した試料の石灰石であつた部分の周囲に発達した組織を示しており、Photo. 1-C)と類

似の大略二つに区分された組織上の特徴が認められた。すなわち、一つは元石灰石が存在した部分に相当し、酸化鉄を 5~10 wt% 含有した CaO と C₂F の混在した組織になつてゐる。そして、この組織中には Photo. 3-B) に示すように微量の C₂S と CaO-Fe₂O₃ 系融液 (CaO : 17, Fe₂O₃ : 83 wt%) が介在している。もう一つの組織は、上述の組織の外周部に存在し C₂S を主体としている。

この組織はつぎのような過程で生成したと考える。まず石灰石の近傍で生成した CaO-Fe₂O₃ 2 元系融液に SiO₂, Al₂O₃ 分がとけこんで CaO-Fe₂O₃-SiO₂ 系⁵⁾ の低融点領域であるカルシウムフェライト系融液 (β) が生成する。それに CaO が溶けこみ C₂S を晶出する。そのことで SiO₂ 分が低くなつた融液が CaO 中に侵入し C₂F を形成する。残液は微量の C₂S と CaO-Fe₂O₃ 系融液となる。

Photo. 3-C) は石灰石が細粒ではあるが、石灰石が多く存在したと考えられる部分に生成した組織である。これも上述のように生成したカルシウムフェライト系融液に CaO が溶け込み、C₂S が晶出し、つづいて Fe₃O₄ が晶出し、残りの液が固化したものと考える。

以上の焼結中断錠試験と模擬実験から最終スラグ形成までの機構をつぎのように考える。すなわち 1100°C 付近で低 CaO/SiO₂ シリケート系融液が生成し、1200°C では石灰石の偏在部で C₂S も生成する。そして、鉄鉱石に比べて C₂S のシリケート系融液への溶解速度が大きいと仮定すると、高温になるにしたがつて C₂S がシリケート系融液に溶けこみ、その組成は Fig. 8 に示したように低酸化鉄側に移動し、最終スラグ組成になると考へる。

5. 結 言

焼結中断錠試験と焼結過程模擬実験を実施し、鉱物組織と成分の変化を明らかにした。さらに新たに作成した

$P_{O_2} = 10^{-7}$ atm 下での CaO-SiO₂-Al₂O₃-Fe₃O₄ 4 元系平衡相関係に基づいて、初期融液の生成から最終スラグ形成にいたるまでの過程を検討し以下の結果を得た。

1) CaO-SiO₂-Fe₃O₄ 3 元系および CaO-SiO₂-Al₂O₃-Fe₃O₄ 4 元系の平衡相関係を明らかにした。Al₂O₃ の存在により、状態図の 1300°C の融液領域は低酸化鉄側に移行する。

2) 焼結鉱の初期融液としてはシリケート系融液と 4 元系カルシウムフェライト系融液がある。このほかにもカルシウムフェライト系融液に石灰がとけこむことで生成する C₂S 主体の組織が存在する。

3) 低 CaO 融液への遊離石灰の溶解反応は、CaO の周囲に C₂F の殻が生成するため起こりにくい。

4) 焼結が進むにつれて低塩基度シリケート系融液は C₂S をとかしこみ、その組成は低酸化鉄側に移動し、ついに最終スラグ組成を形成することが考えられる。

文 献

- 1) 井上勝彦, 林秀高, 西田功, 吉岡邦宏: 鉄と鋼, 69 (1983), A17
- 2) 相馬英明, 和島正巳, 細谷陽三, 田代清: 鉄と鋼, 68 (1982), p. 2200
- 3) 田中孝三, 吉岡邦宏: 鉄と鋼, 65 (1979), S526
- 4) F. D. RICHARDSON and J. H. E. JEFFES: JISI, 63 (1949), p. 397
- 5) B. PHILLIPS and A. MUAN: J. Am. Ceram. Soc., 42 (1959), p. 413
- 6) A. MUAN: Trans. Metall. Soc. AIME, 203 (1955), p. 965
- 7) 楊澈基, 正路徹也, 武内寿久彌: 日本鉱業会誌, 94 (1978) 1087, p. 575
- 8) 小島鴻次郎, 永野恭一, 稲角忠弘, 岸忠男, 品田功一: 鉄と鋼, 56 (1970), p. 1789
- 9) 松野二三朗: 鉄と鋼, 64 (1978), p. 1499
松野二三朗, 原田武男: 住友金属, 31 (1979) 1
- 10) 佐々木稔, 中沢孝夫, 近藤真一: 鉄と鋼, 54 (1968), p. 1225
- 11) 佐々木稔, 肥田行博: 鉄と鋼, 68 (1982), p. 563
- 12) 佐々木稔, 榎戸恒夫: 製鉄研究 (1976) 288, p. 1180